



Ejemplo
Desarrollo de fármacos de cobre
Casiopeínas:

La aventura del diseño a la clínica

RESPONSABLES
 M. en C. Ma. Isabel Gracia Mora
 Dr. Mario Altamirano Lozano
 Dra. Inés Fuentes Noriega
 Dra. Carmen Mejía Vázquez
 Dra. Cristina Trejo Solís
 Dr. Héctor Sumano López
 Dr. Fernando Constantino Casas
 Dra. Sara Rodríguez Enríquez
 Dra. Karla Carvajal Aguilera
 M. en C. Ernesto Rodríguez Aguilera
 Dr. Rafael Moreno Esparza
 Dra. Graciela Tapia Pérez
 Dr. Vicente Madrid Marina
 Dr. Erick Alexanderson Rosas
 Dra. Ma. Josefa Bernard Bernard
 M. en C. Matilde Breña Valle

ASOCIADOS
 C. Dra. Ma. Elena Bravo Gómez
 C. Dra. Araceli Tovar Tovar
 MVZ. Lucía Macías Rosales
 MVZ. Mabel Tinoco Méndez
 MVZ. Marisol Rivera Huerta
 M. en C. Héctor Rico Morales
 Q.A. Jacqueline Sáenz Chuc
 QFB. Celedonio Gómez Ruiz
 Dr. Luis Ortiz Frade
 M. en C. Jorge Luna del Villar Velasco
 Dra. Ma. Del Carmen García Rodríguez
 Dra. Lucila Álvarez Barrera

ALUMNOS
 Francisco Carvallo Chaigneau
 Radamés Alemón Medina
 Francisco Sánchez Bartéz
 Roberto Carlos Cañas Alonso
 Guadalupe Vértiz Serrano
 Marco Leal García
 Luis Enrique García Ortuño
 Juan Carlos García Ramos
 Lidia Barrón Sosa
 Nallely Chiapa Zavala
 Dra. Ma. Del Carmen García Rodríguez
 Fabiola Sánchez Peláez
 Miguel Ángel Muciño Hernández
 Amada Huerta Palacios
 Gladys Janet Reyes Sánchez
 Silvia Graciela Dávila Manzanilla
 Javier Díaz Rivera
 Ana Luisa alonso
 Sandra Centeno




INTRODUCCIÓN

- Quimioterapia
- Inaccesibilidad a algunos sectores de la población
- Existen 48 compuestos aprobados de los cuales sólo 5 son de origen inorgánico.
- Tumores refractarios, elevada toxicidad y costo

*Salud pública de México, Vol. 39, no. 4, julio-agosto 1997,
 Salud México 2003: Informe para la rendición de cuentas.
 Metal Compounds in cancer therapy, simon P. Fricker, Chapman & Hall.*

Quimioterapia

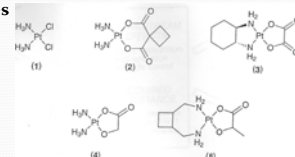
La razón para la búsqueda de nuevos antineoplásicos está basada en la necesidad de encontrar compuestos con:

- Ausencia de resistencia cruzada
- Un espectro más amplio de actividad
- Mayor efectividad clínica antitumoral
- Disminución de efectos eméticos y renales
- Sinergismo en terapias combinadas

Quimioterapia con Pt

- Cisplatino (1), aprobado por la FDA en 1979.
- Otros compuestos aprobados para uso clínico:

- Carboplatino (2) mundialmente
- Oxaliplatino (3) algunos países
- Nedaplatino (4) en Japón
- Lobaplatino (5) en China



Lebwohl, D. & Canetta, R. (1998) *European Journal of Cancer*, 34, 1522-1534.
McClevert, J.A. & Meyer, T.J. (2004) *Comprehensive Coordination Chemistry II. From Biology to Nanotechnology*. Vol.9

Farmacos con Centro Metálico

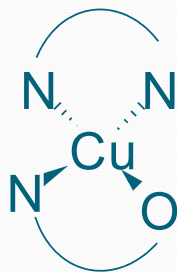
- ❖ Cisplatino
- ❖ Carboplatino
- ❖ Oxaliplatino
- ❖ Experimentales:
Pt, Pd, Ti, Sn, Ru, Nb, Au, Cu

Ni	Cu
Pd	Ag
Pt	Au

CASIOPEÍNAS

- Objetivos: Disminución de toxicidad y costo; Selectividad Tumoral.
- Demostración de actividad antiproliferativa en células tumorales
- Demostración de actividad antitumoral en ensayos *in vivo* con modelos murinos (NCT), tumor humano en ratón desnudo y tumores espontáneos
- Patente SECOFI 18801. P.I. (1990). Patente, enero 26, (1994) no. 172967. SECOFI 18802. P.I. (1990). Patente, Dic 9 (1993) no. 172248 U.S. patent, Ap21 (1992) Number 5,107,005. U.S. patent Re 35, 458, Feb 18 (1997). U.S. Patent, Patent No. 5, 576,326. Nov 19 (1996). Reg. 407543 SECOFI (1992)

CASIOPEÍNAS



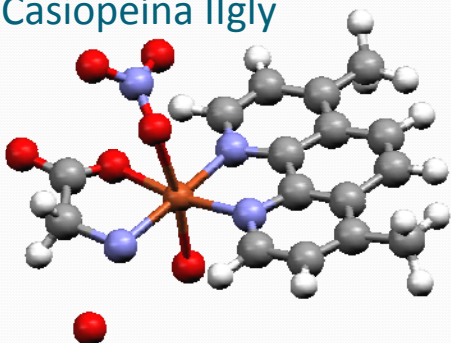
La familia de compuestos CASIOPEINAS® es un grupo de compuestos de coordinación de cobre (II) como centro metálico, que en la esfera de coordinación presentan un ligante bidentado del tipo diimina (N-N) y otro que puede ser aminoacidato (N-O) o donador (O-O)

Compuestos Ternarios de Cobre(II), Casiopeínas®

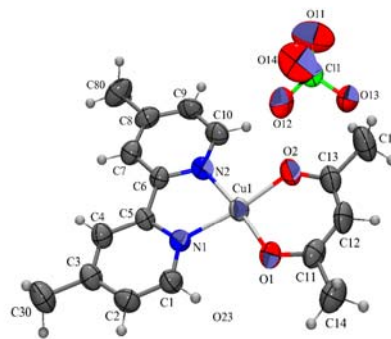
N-N	N-O (aa esencial)	O-O (acac, salal)	(N-O) _n (péptidos)
4,7-df-fen	Cas I	Cas III	Cas X
4,7-dm-fen	Cas II	Cas III	Cas X
4,4-dm-bipi	Cas IV	Cas III	Cas X
5-R-fen	Cas V	Cas III	Cas X
5,6-dm-fen	Cas VI	Cas III	Cas X
fen	Cas VII	Cas III	Cas X
3,4,7,8-tm-fen	Cas VIII	Cas III	Cas X
3,8-dm,4,7-df-fen	Cas IX	Cas III	Cas X

L. Ruiz.U. S Patent Re35, 458, Feb. 18 (1997), U.S.Pat. No. 5,576,326, Nov. 19 (1996)

Casiopeína IIgly



-Ruiz-Ramírez L., Solans X., et al. *Acta Crystallographica*, C49 (1993) 890-893. $[\text{Cu}(\text{dmfen})(\text{gli})]\text{NO}_3$



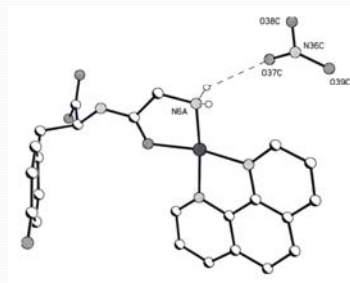
Casiopeína III-Ia
 $[\text{Cu}(\text{dm-bipi})(\text{acac})]\text{NO}_3$

Tovar A, Ruiz-Ramírez, et al., *J. of Inorganic Biochemistry*, 2004

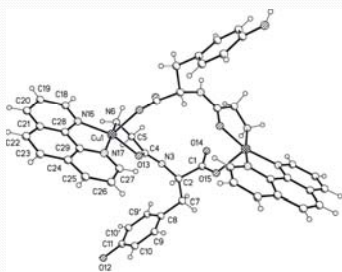
Casiopeínas X

- **N-N**= 1,10-fenantrolina
 - **(N-O)n**= his-ser
gli-gli-his,
his-gli-gli
- También se han sintetizado los compuestos de **Zn**

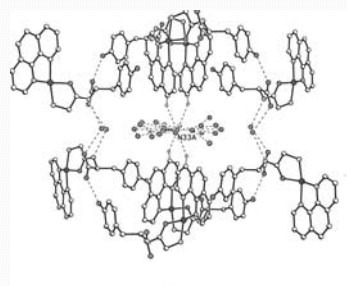
[Cu(fen)(pept)]NO₃



[Cu(fen)(pept)]NO₃



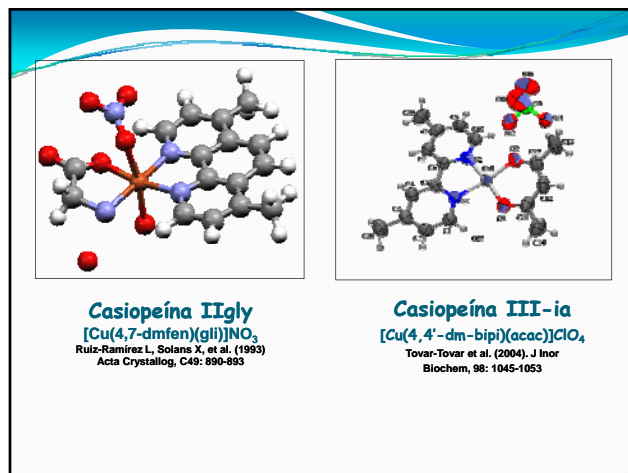
[Cu(fen)(pept)]NO₃





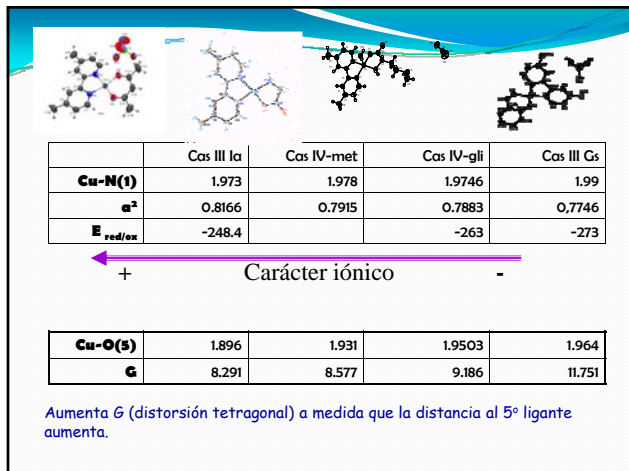
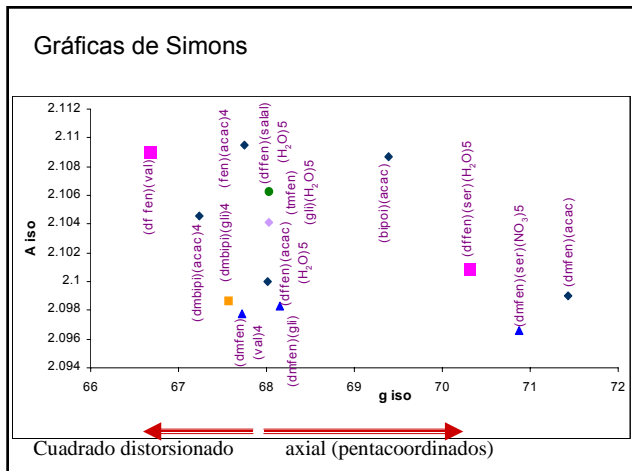
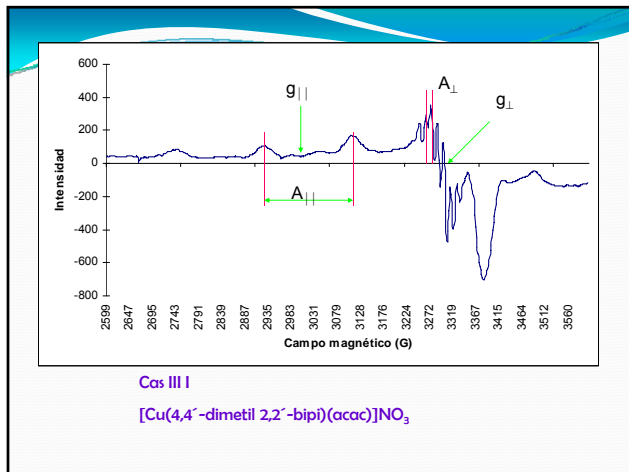
CARACTERIZACIÓN DEL FÁRMACO

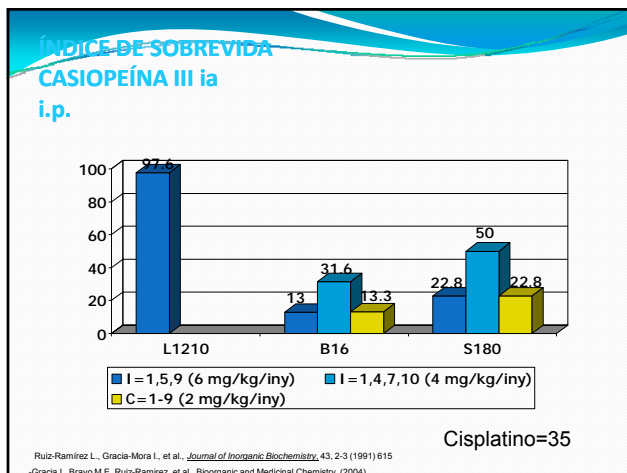
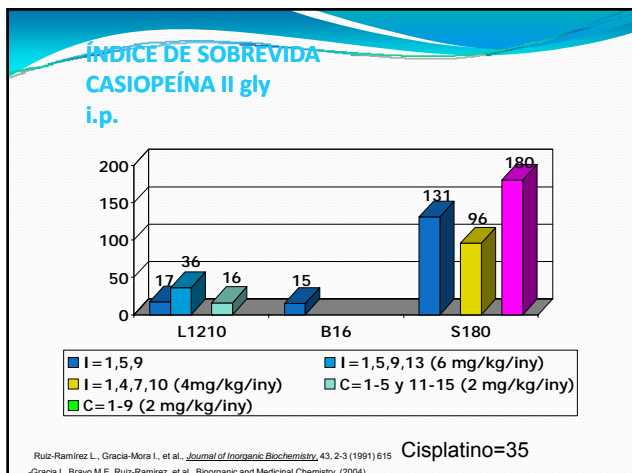
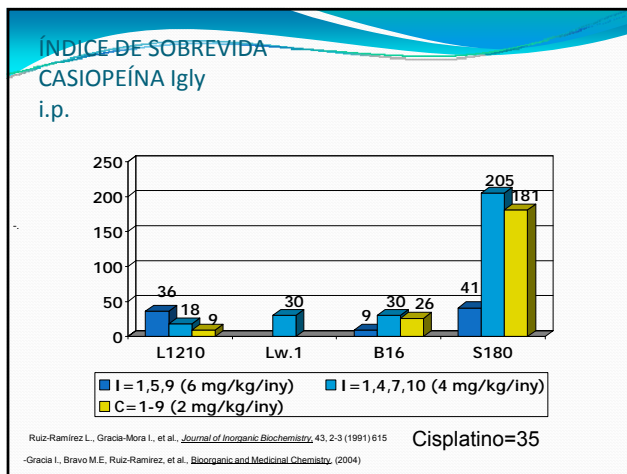
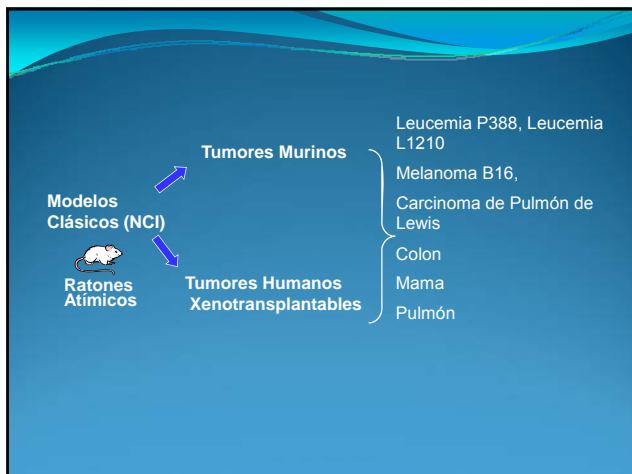
- Análisis Elemental
- Espectrofotometría de infrarrojo
- UV-Vis
- Conductividad
- Momento Magnético
- Estructura por RX.
- E. de masas
- Termogravimetría
- EPR
- Estabilidad en disolución y cámara climática



Grupo Bipiridina						
No	X	E. A.	Formula	FW (g/mol)	μ_{eff} (MB)	Cond. (μS)
1	H	10.65; 42.92; 4.24 (6.08; 43.23; 4.59) 9.97; 47.48; 5.07 (9.84; 47.53; 4.96)	$Cu_{12}N_{12}O_{12}H_{12} \cdot 2H_2O$	416.54	1.74	46.90
2	4,4'-dMe		$Cu_{12}N_{12}O_{12}H_{12} \cdot 2H_2O$	426.92	1.80	40.23
Grupo Fenantrolina						
3	H	9.23; 45.93; 4.17 (9.33; 46.31; 4.34) 10.24; 51.16; 4.16 (10.03; 51.61; 4.09)	$Cu_{12}N_{12}O_{12}H_{12} \cdot 2H_2O$	440.90	1.88	38.57
4	4-Me	9.31; 47.79; 5.29	$Cu_{12}N_{12}O_{12}H_{12} \cdot 2H_2O$	454.91	1.89	40.10
5	5-Me	(9.24; 47.53; 4.65) 9.32; 49.92; 4.49	$Cu_{12}N_{12}O_{12}H_{12} \cdot 2H_2O$	450.94	1.80	38.48
6	4,7-diMe	(9.33; 50.61; 4.69) 9.03; 48.82; 4.93	$Cu_{12}N_{12}O_{12}H_{12} \cdot 2H_2O$	468.95	1.82	38.90
7	5,6-diMe	(8.96; 48.66; 4.94) 8.95; 52.79; 5.41	$Cu_{12}N_{12}O_{12}H_{12} \cdot 2H_2O$	478.99	1.78	37.32
8	3,4,7,8-tetraMe	(8.77; 52.66; 5.26) 8.16; 57.43; 4.03	$Cu_{12}N_{12}O_{12}H_{12} \cdot 2H_2O$	480.97	1.81	36.77
9	5-phenyl	(8.74; 57.44; 3.98) 7.52; 61.34; 4.48	$Cu_{12}N_{12}O_{12}H_{12} \cdot 2H_2O$	575.06	1.87	36.00
10	4,7-diphenyl	(7.31; 60.57; 4.38) 9.41; 44.40; 3.49 (6.19; 44.65; 3.53)	$Cu_{12}N_{12}O_{12}H_{12} \cdot Cl \cdot H_2O$	457.31	1.83	39.74
11	5-Cl	12.26; 44.70; 3.05 (12.45; 45.39; 3.14)	$Cu_{12}N_{12}O_{12}H_{12}$	449.87	1.82	34.80
12	5-NO ₂					

[Regresar](#)





ENSAYOS IN VIVO

TUMORES XENOTRANSPLANTADOS EN RATONES
DESNUDOS

HCT-15. Adenocarcinoma de colon

1. Volumen tumoral:

$$VT = a b^2 \pi / 6$$

2. Volumen relativo tumoral

$$VRT: \text{Vol. Día } x / \text{Vol. Día } 0 \times 100$$

Función antitumoral:
(VRT trat./ VRT test.) *100

Función antitumoral	Cisplatino n=6	Casiopéina n=6
Día 7	72.48	61.66
Día 14	100.97	55.52
Día 21	78.98	57.60
Día 28	90.30	69.73

VRT HCT-15 días 7, 14, 21, 28.

VRT	Testigo n=6	Cisplatino n=6	Casiopéina n=6
Día 7	749.75	543.43	462.31
Día 14	1838.54	1856.52	1020.87
Día 21	3890.52	3072.90	2241.12
Día 28	6613.58	5972.26	4612.20

Inhibición del crecimiento

D Testigo n=6	D Cisplatino n=6	D Casiopeína n=6
3.16	3.66	6.40

D: Días que toma el tumor en doblar su tamaño

Inhibición del crecimiento:

D tratados- D testigo/D testigo

I. C. Cisplatino	I. C. Casiopeína
2.66	5.40

La inhibición del crecimiento es la variable que indicará actividad antitumoral. Para considerar que un fármaco posee potencial antineoplásico, el valor de este índice debe ser igual o mayor a 2.

Cáncer de colon humano en ratas desnudas

Retraso específico de crecimiento de HCT-15 bajo los distintos tratamientos

Tratamiento (mg/mL)	Retraso específico
Cispt	~0.1
Il-gli 0.5	~0.3
Il-gli 1.0	~2.0
III-ia 1.5	~0.5
III-ia 3.0	~0.8
III-ia 6.0	~1.4

Cas Ilgly CasIIIia Control

TRATAMIENTO DE TUMORES ESPONTÁNEOS

Adenocarcinoma Mamario
RATAS WISTAR
CASIOPEÍNA III-ia

TOMOGRAFIA DE EMISION DE POSITRONES (PET)

FDG
GLUCOSA -F*

Ciclotrón



Cortesía: UNAM, Fac. de Medicina, Unidad Pet-Ciclotrón (2003)

Módulo de síntesis

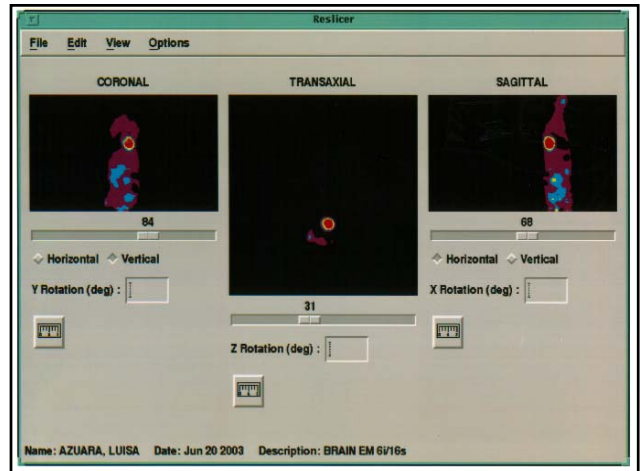
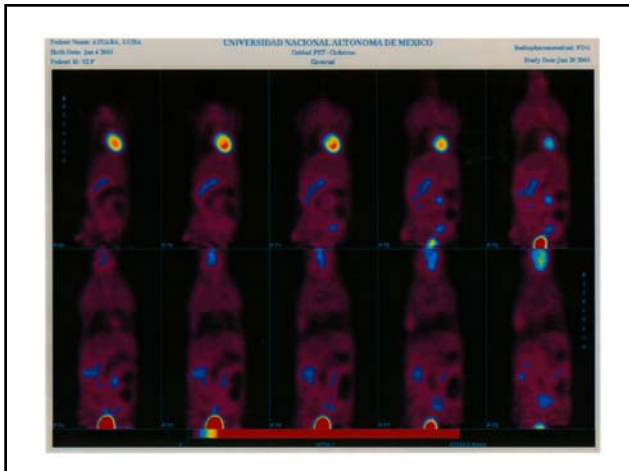
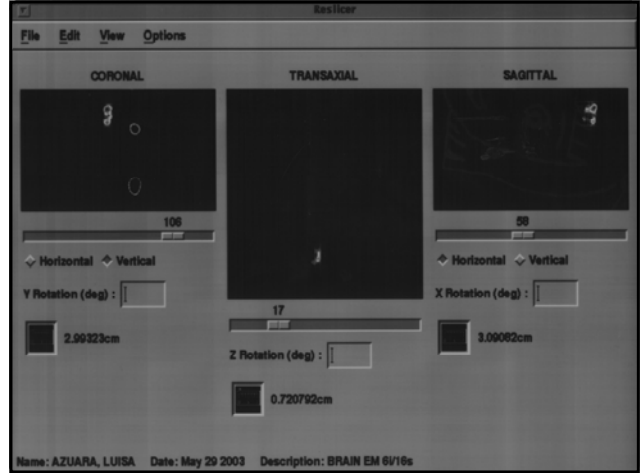
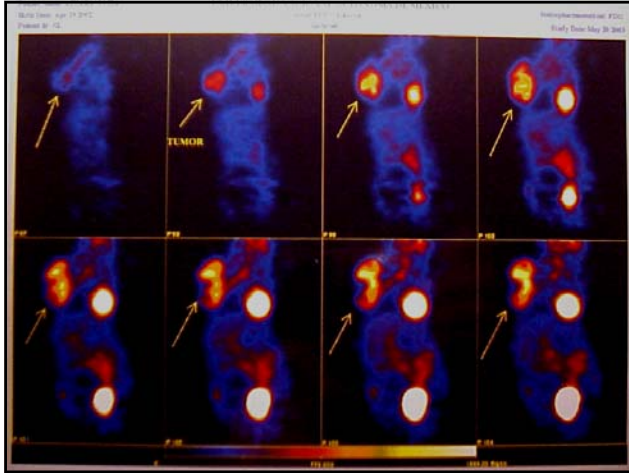


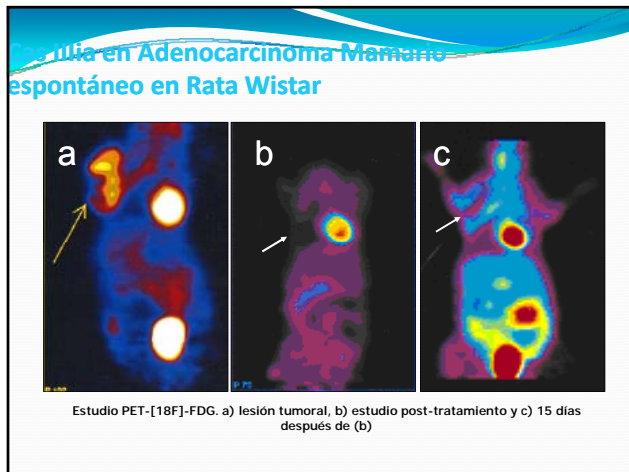
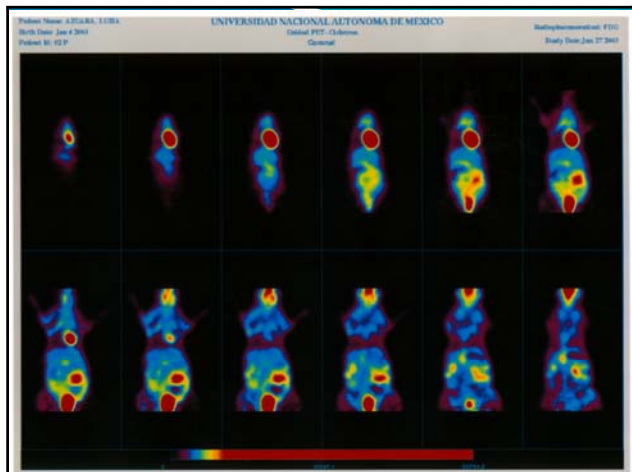
Cortesía: UNAM, Fac. de Medicina, Unidad Pet-Ciclotrón (2003)

Cámara de positrones: Cámara PET



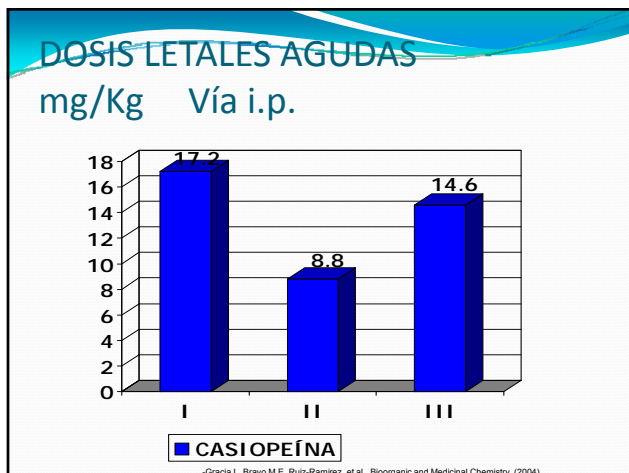
Cortesía: UNAM, Fac. de Medicina, Unidad Pet-Ciclotrón (2003)

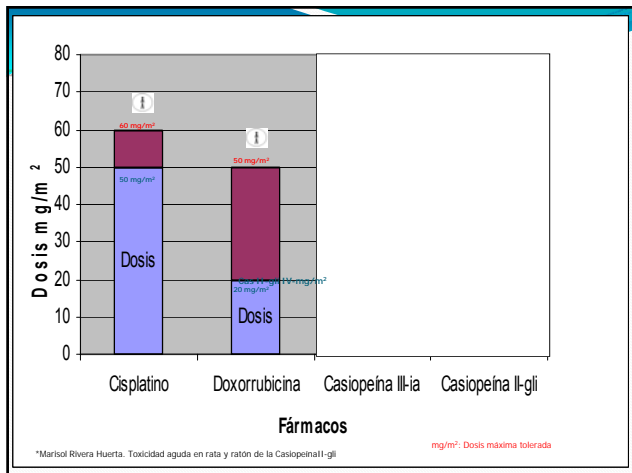
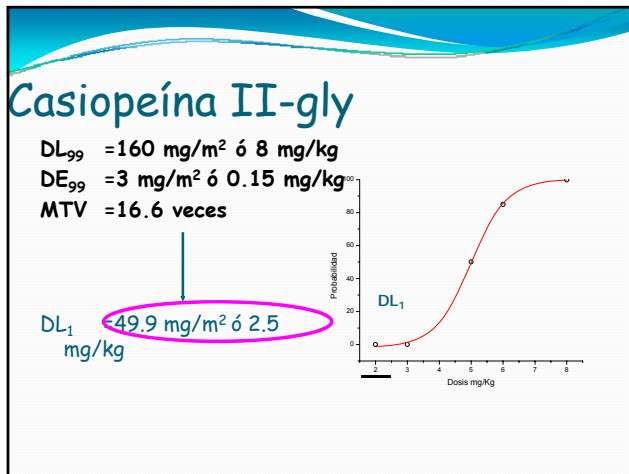
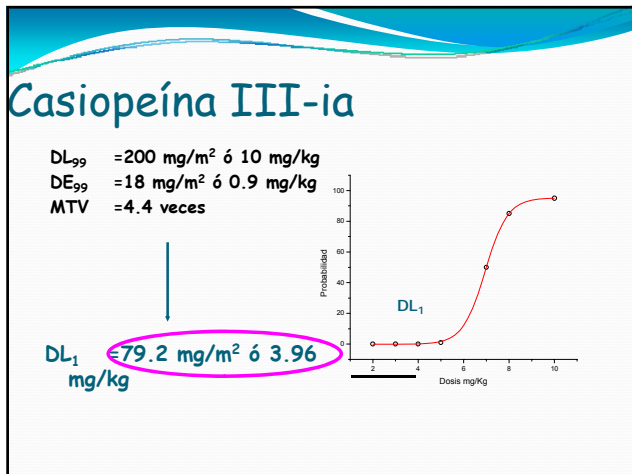




TOXICIDAD AGUDA

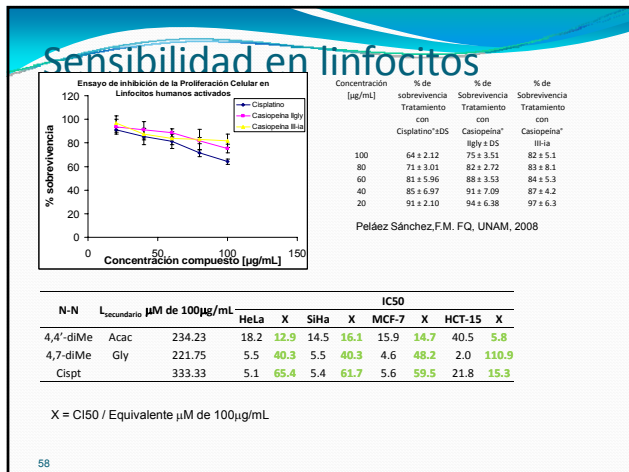
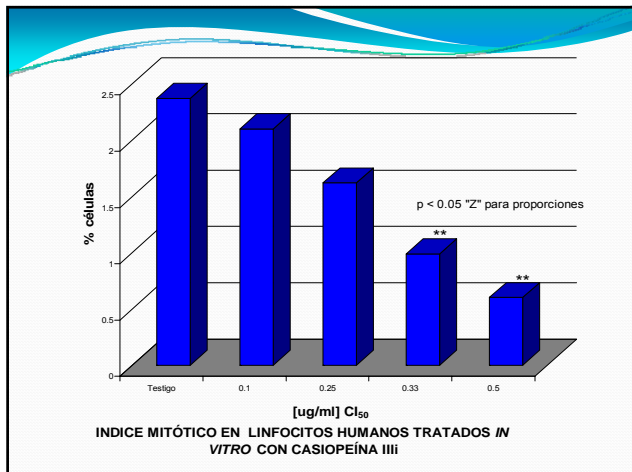
RATONES EXOGÁMICOS
ICR





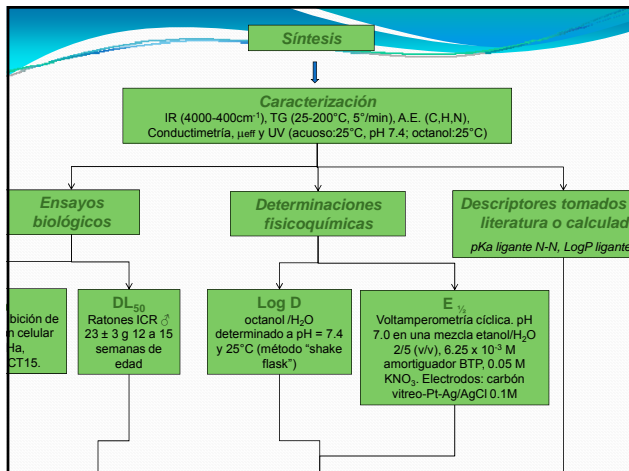
CITOSTATICIDAD Y GENOTOXICIDAD

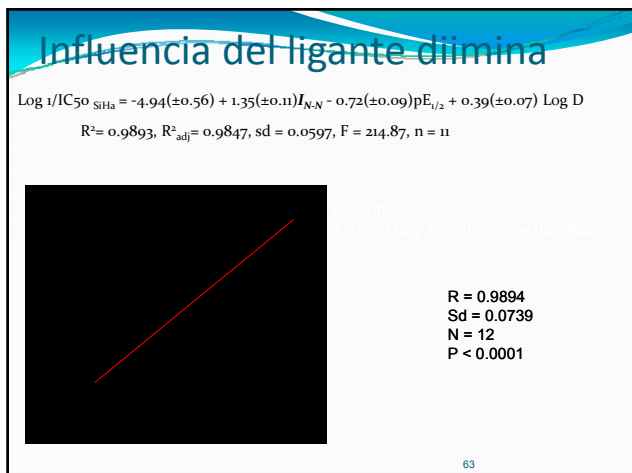
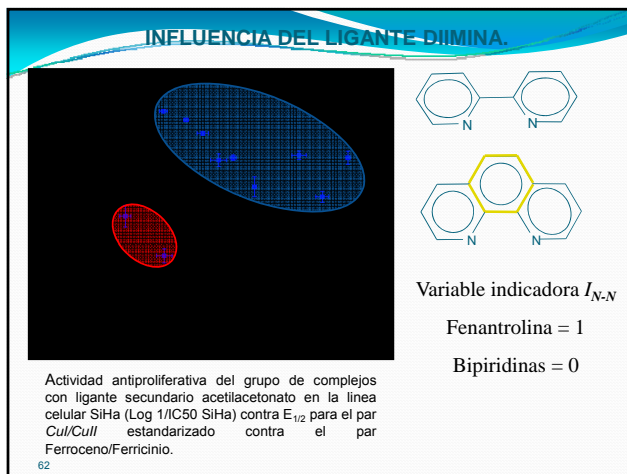
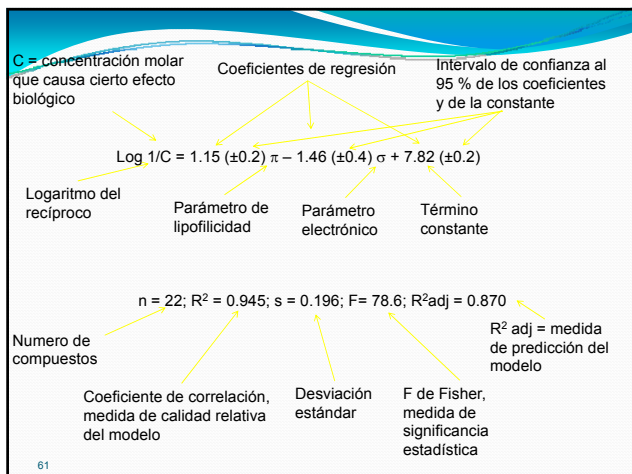
CULTIVO DE LINFOCITOS HUMANOS DE SANGRE PERIFÉRICA



Correlaciones estructura actividad

- QSAR





Influencia del ligante diimina

Log 1/C	Intercepto	I_{N-N}	$pE_{1/2}$	Log D	n = n
HeLa	-3.78(±1.71)	+1.19(±0.41)	-0.47(±0.33)	+0.23(±0.26)	R ² = 0.8262, R ² adj = 0.7517, sd = 0.2263, F = 11.09,
SiHa	-4.94(±0.56)	+1.35(±0.11)	-0.72(±0.09)	+0.39(±0.07)	R ² = 0.9893, R ² adj = 0.9847, sd = 0.0597, F = 214.87,
MCF-7	-3.37(±1.31)	+1.08(±0.32)	-0.40(±0.25)	+0.42(±0.20)	R ² = 0.9046, R ² adj = 0.8636, sd = 0.1742, F = 22.11, n = 11
HCT-15	-4.57(±1.18)	+1.49(±0.29)	-0.59(±0.23)	+0.39(±0.18)	R ² = 0.9449, R ² adj = 0.9212, sd = 0.1565, F = 39.98, n = 11
DL50	-2.63(±0.49)	+0.47(±0.12)	-0.17(±0.09)	+0.11(±0.07)	R ² = 0.9373, R ² adj = 0.9104, sd = 0.0519, F = 34.87,

64

Reacción de Fenton y Ciclo de Haber Weiss

Reacción de Fenton $Cu^{1+} + H_2O_2 \rightarrow Cu^{2+} + OH^{\bullet} + OH^{-}$

Ciclo Haber Weiss

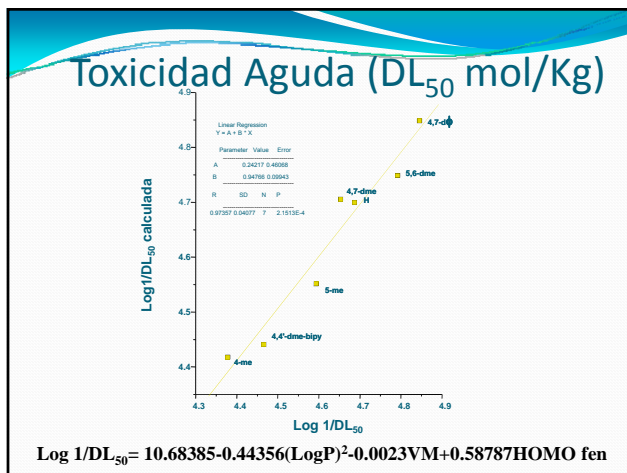
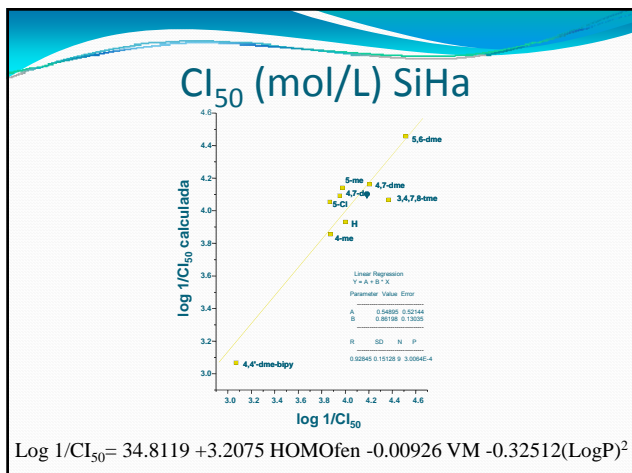
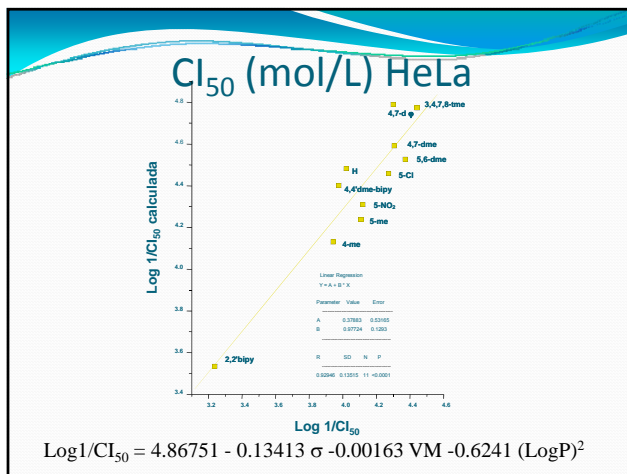
$$H_2O_2 + OH^{\bullet} \rightarrow H_2O + O_2^{\bullet-} + H^+$$

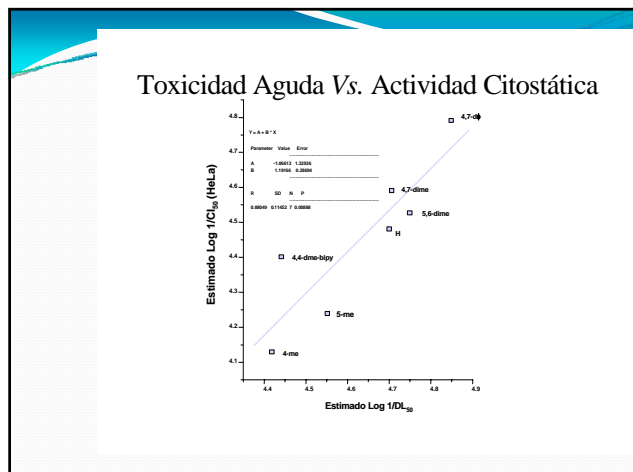
$$Cu^{2+} + O_2^{\bullet-} \rightarrow Cu^{1+} + O_2$$

$$Cu^{1+} + H_2O_2 \rightarrow Cu^{2+} + OH^{\bullet} + OH^{-}$$

$$H_2O_2 + O_2^{\bullet-} \rightarrow O_2 + OH^{\bullet} + OH^{-}$$

IUPAC Compendium of Chemical Terminology 2003





QSAR's empleando solamente descriptores teóricos.

Log 1/C	Intercepto	I_{N-N}	$pE_{1/2} / pKa$	Log D / $CLogP_{N-N}$	n = 11
HeLa	-3.78 (± 1.71) -2.94 (± 0.72)	+1.19 (± 0.41) +0.73 (± 0.30)	-0.47 (± 0.33) +0.31 (± 0.14)	+0.23 (± 0.26) +0.31 (± 0.14)	R ² = 0.8262, R ² = 0.8348
SiHa	-4.94 (± 0.56) -3.11 (± 0.54)	+1.35 (± 0.11) +0.82 (± 0.23)	-0.72 (± 0.09) +0.35 (± 0.10)	+0.39 (± 0.07) -----	R ² = 0.9893, R ² = 0.9218
MCF-7	-3.37 (± 1.31) -2.87 (± 0.55)	+1.08 (± 0.32) +0.70 (± 0.25)	-0.40 (± 0.25) +0.19 (± 0.11)	+0.42 (± 0.20) +0.16 (± 0.09)	R ² = 0.9046, R ² = 0.9269
HCT-15	-4.57 (± 1.18) -3.81 (± 0.61)	+1.49 (± 0.29) +1.04 (± 0.26)	-0.59 (± 0.23) +0.43 (± 0.12)	+0.39 (± 0.18) -----	R ² = 0.9449, R ² = 0.9325
DL50	-2.63 (± 0.49) -2.44 (± 0.14)	+0.47 (± 0.12) +0.30 (± 0.06)	-0.17 (± 0.09) +0.12 (± 0.03)	+0.11 (± 0.07) +0.03 (± 0.02)	R ² = 0.9373, R ² = 0.9811

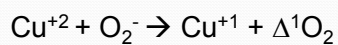
70

- ### Conclusiones
- Las ecuaciones modelan adecuadamente la actividad de los complejos.
 - Validez en el uso de descriptores únicamente teóricos.
 - El tercer anillo aromático es necesario para incrementar la actividad del complejo.
 - Citotoxicidad esta directamente relacionada con la toxicidad *in vivo*
 - El centro metálico esta involucrado en el mecanismo de acción.
 - Sustituyentes electrodonadores desplazan el $E_{1/2}$ hacia potenciales más negativos e incrementan la actividad antiproliferativa.
 - La hidrofobicidad de los ligantes podría facilitar el transporte no regulado de cobre.
- 71

MECANISMO DE ACCIÓN

- DNA
 - INTERCALACION
 - INTERALACION de Bases
 - Radicales Libres

Posible mecanismo



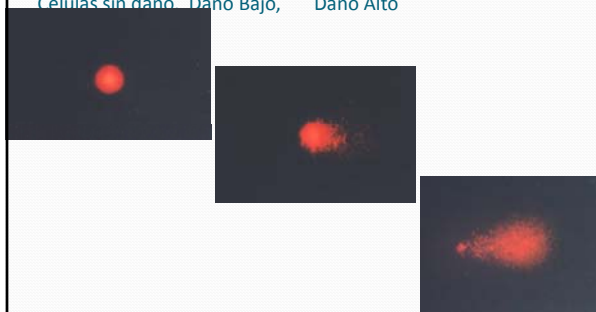
(Haber-Weiss)



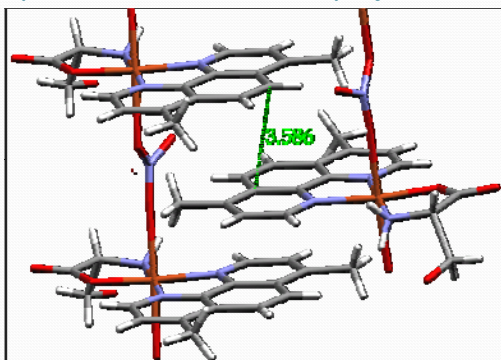
(Fenton)

Ensayo Cometa

Células sin daño Daño Bajo Daño Alto



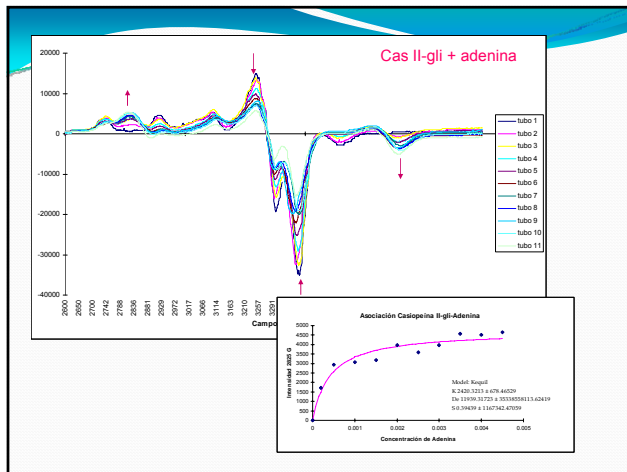
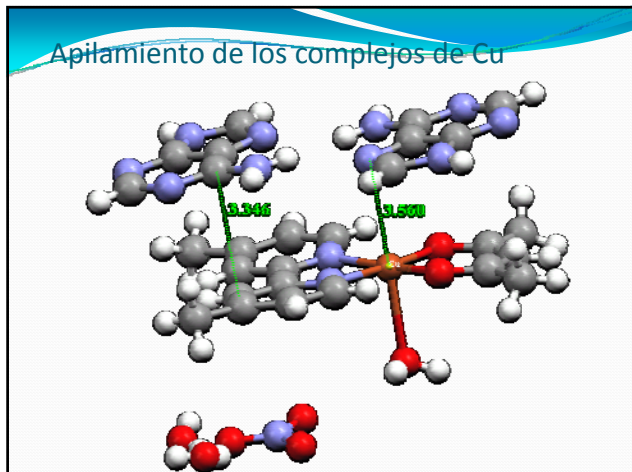
Apilamiento de los complejos de Cu



Propiedades cristalográficas

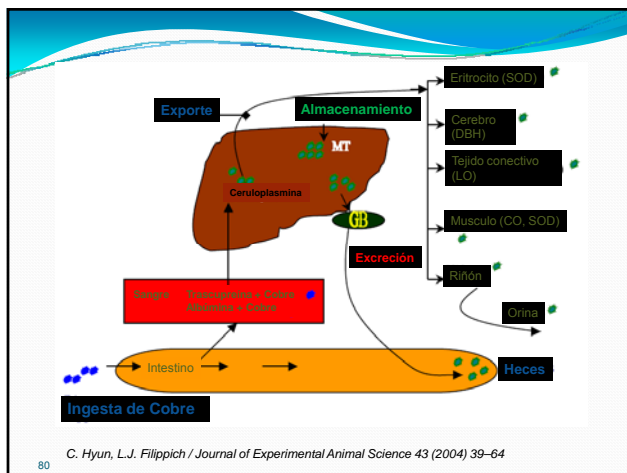
Durante el estudio cristalográfico de estos complejos, hemos encontrado, que muchos de ellos tienen estructuras cristalinas que presentan apilamiento anti-paralelo de sus componentes aromáticos en donde:

- La distancia entre los planos es menor que 3.6 Å.



MECANISMO DE ACCIÓN

- Interacción con DNA
- Intercalación entre Bases
- Generación de Radicales Libres
- Inhibición de la cadena respiratoria en mitocondria
- Apoptosis

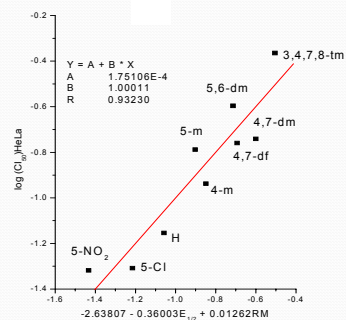


Correlaciones estructura actividad

• QSAR

(Quantitative Structure Activity Relationship)

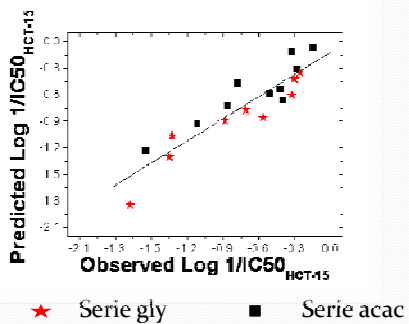
$\log(1/CI_{50})_{HeLa}$ experimental
vs.
 $\log(1/CI_{50})_{HeLa}$ calculado



07/12/2010

82

Influencia del ligante secundario



Estudios preclínicos

Farmacocinética

FARMACOLOGÍA Y TOXICOLOGÍA ENSAYOS PRECLÍNICOS

FÁRMACOS

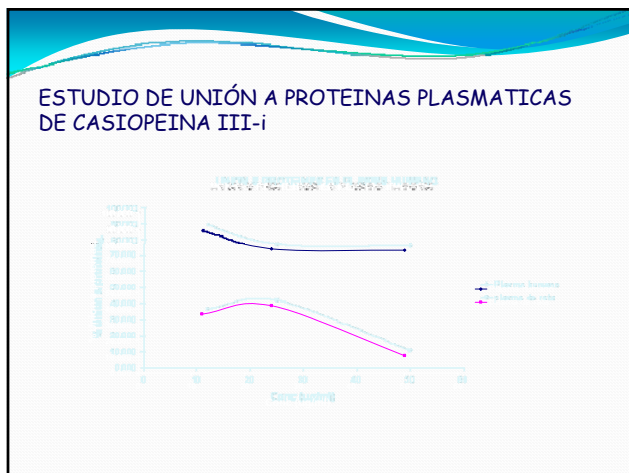
- Dos especies roedores y una no-roedor
- Vía y esquemas de administración
- Farmacocinética



ESTUDIO DE UNIÓN A PROTEINAS PLASMATICAS DE CASIOPEINA III-i

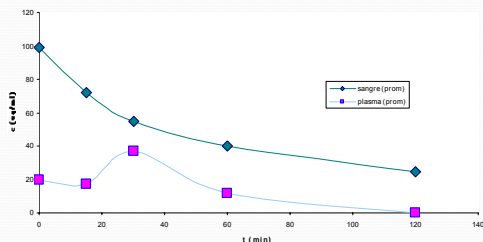
Conc. (µg/ml)	% unión en plasma de rata	% Unión en plasma de humano
12	36.71	89.049
25	41.84	77.138
50	10.80	76.433

Conc (ug/mL)	% en albumina
50	37.4
25	32.8



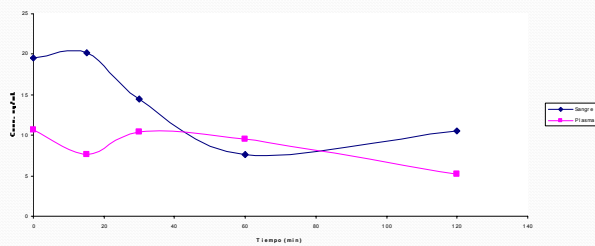
Distribución Cinética *in vitro* de Casiopeína III-ia en sangre de rata

Cinética en sangre y plasma, conc 150 ug/mL

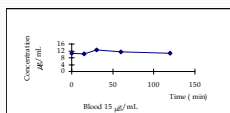


Distribución Cinética *in vitro* de Casiopeína IIIi en sangre de rata

Cinética *in vitro*, 25 ug/mL

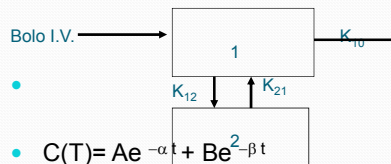


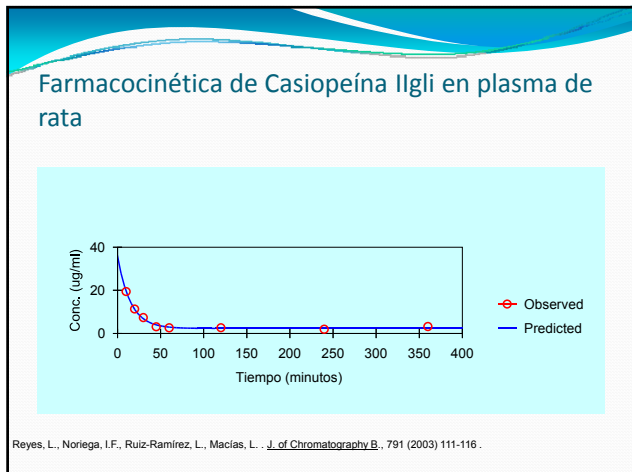
Distribución Cinética *in vitro* de Casiopeína IIIi en sangre de rata



Modelo farmacocinético, ratas Wistar, 9 mg/Kg

2 compartimentos, Bolo I.V., microconstantes, sin tiempo lag, eliminación de 1er orden



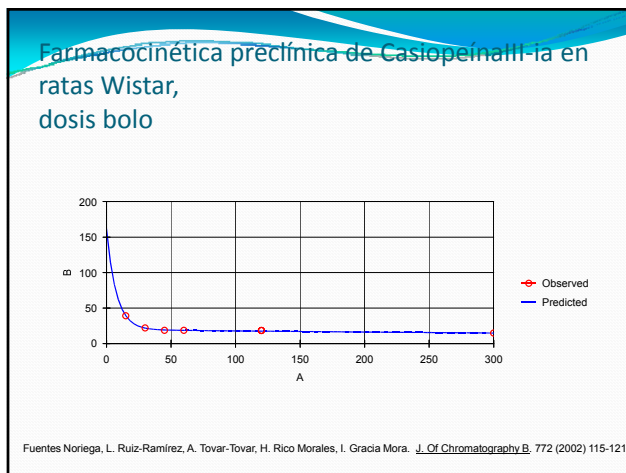


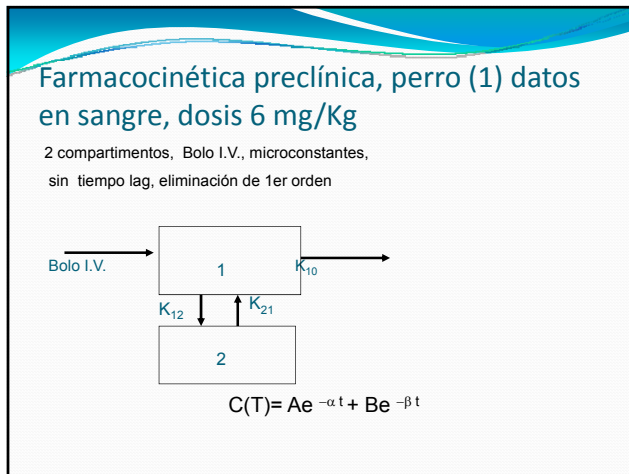
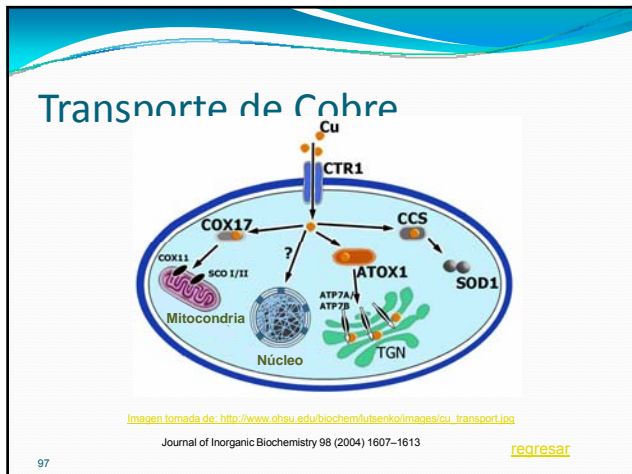
Casiopeína III-ia
 Modelo abierto de dos compartimentos con eliminación de primer orden :
 $C_p = Ae^{\alpha t} + Be^{-\beta t}$

Área bajo la curva	22277.14 ug/mL-min
Vida media (beta)	748.12 min (12.46 h)
Cmax	157.37 ug/mL
Cl (Depuración)	$1.15 \cdot 10^{-4}$ ng/min
TMR (Tiempo medio de residencia)	1028.79 min (17.14 h)
Vss (Volumen de distribución)	0.118 L

Parámetros farmacocinéticos, dosis 10 mg/Kg

Parámetro	Estimado	Error std	%CV
• ABC	22264.66755	1991.128449	8.94
• K10-HL	95.530863	30.115185	31.52
• Alpha	0.131402	0.024512	18.65
• Beta	0.000929	8E-005	8.62
• Alpha-HL	5.274995	0.983182	18.64
• Beta-VM(min)	746.137	64.35	8.62
• A	141.866155	54.805	38.63
• B	19.680502	0.4101	2.08
• Cmax (ug/mL)	161.547	54.940	34.01
• Cl(ug/min)	0.000115	1E-005	8.95
• AUMC	4020248.344	17.62	
• MRT	1024.619202	91.610468	8.94
• Vss (L)	0.118179	0.003633	3.07





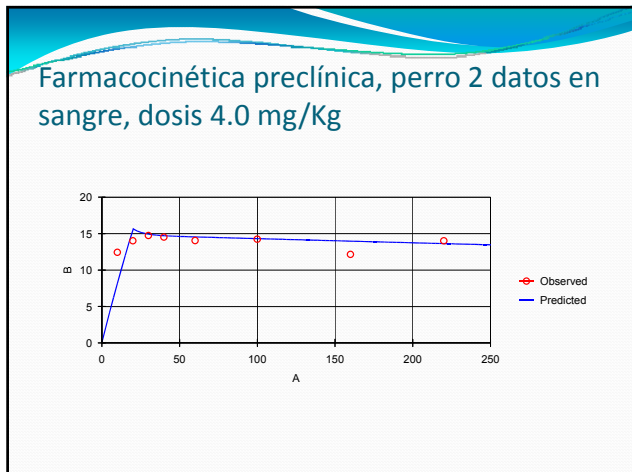
Casiopeína III-ia
 Parámetros farmacocinéticos perro con administración por infusión iv y una dosis de 3.5 mg/Kg de CIIIi

Modelo abierto de dos compartimentos, con infusión iv. y eliminación de primer orden y sin tiempo de retardo (lag time).
 $C_p = A(e^{-\alpha T} - e^{-\alpha T_1}) + B(e^{-\beta T} - e^{-\beta T_1})$

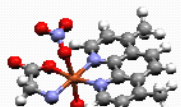
Área bajo la curva	451149.77 ug/mL·min
Vida media beta	14804.34 min (246.74 h)
Cmax	88.76 ug/mL
Cl	$9 \approx 10^{-5}$ ug/min
TMR	21129.94 min (352.16 h)
Vss	1.91 L

Parámetros farmacocinéticos

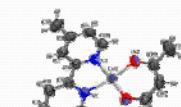
Parámetro	Estimado	Error std	%CV
• ABC	36531.44388	118593.6911	324.63
• K10-HL (min)	1441.743695	5450.4366	378.04
• Alpha	0.14479	1.363338	941.6
• Beta	0.000407	0.001387	341.05
• Alpha-HL	4.787274	45.045939	40.95
• Beta-HL(min)	1704.539	5806.653	340.66
• Cmax(ug/mL)	15.673489	1.961562	12.52
• A	2.715418	16.432348	605.15
• B	14.847805	2.722063	18.33
• Cl (ug/min)	0.002858	0.009287	324.96
• AUMC	*****	*****	663.47
• MRT	2457.871488	8372.423806	340.64
• Vss (L)	7.024135	1.278562	18.2



Casiopéinas



Casiopeína II-gly



Casiopeína III-ia

Abstract and key findings on 4,4'-diaminobiphenyl-2,2'-bis(2-oxo-1,2,3,4-tetrahydropyridin-5(1H)-yl) malonate (CASIOPEINA III-ia²⁺) with mechanism, log P, clogP and FRET analysis.

Induction of Apoptosis by a Nickel Coproporphyrin Anticancer Compound, Casiopeína II, in U2OS Human Osteosarcoma and CEM Human T-lymphoma Carcinoma Cells

Cas II-gly Induces Apoptosis in Glioma C6 Cells in Vitro and in Vivo through Caspase-Dependent and Caspase-Independent Mechanisms

Toxic effects of copper-based metallophthalocyanines (Casiopeínas²⁺) on mitochondrial function

